

แบบจำลองระบบสะสมพลังงานอย่างง่ายสำหรับลดค่าความต้องการกำลังไฟฟ้าสูงสุด

A Simple Energy Storage Model for Electrical Peak Demand Minimisation

ณักราชวุฒิ เดชชิวิเศษ

Jackravut Dejvises

ภาควิชาวิศวกรรมไฟฟ้าและคอมพิวเตอร์ มหาวิทยาลัยธรรมศาสตร์ จังหวัดปทุมธานี 12121

บทคัดย่อ

บทความนี้เป็นการนำเสนอแบบจำลองทางคณิตศาสตร์ของระบบสะสมพลังงานอย่างง่ายเพื่อที่จะนำมาลดค่ากำลังไฟฟ้าสูงสุดรายวัน โดยใช้ตัวอย่างเส้นโค้งภาระรายวันจริงของประเทศไทยที่ได้จากการไฟฟ้าฝ่ายผลิตแห่งประเทศไทย (กฟผ.) ในการวิเคราะห์จะเป็นการเปรียบเทียบความสามารถในการลดค่ากำลังไฟฟ้าสูงสุดรายวันเมื่อปรับเปลี่ยนขนาดของตัวสะสมพลังงาน จากการจำลองพบว่าระบบสะสมพลังงานที่มีพิกัดกำลังไฟฟ้าสูงสุด 10 เปอร์เซ็นต์ ของกำลังไฟฟ้าสูงสุดรายวัน และมีค่าความจุพลังงานสูงสุด 2 เปอร์เซ็นต์ ของพลังงานที่คำนวณจากเส้นโค้งภาระ จะสามารถลด กำลังไฟฟ้าสูงสุดได้ 7 เปอร์เซ็นต์ และเพิ่มตัวประกอนภาระได้ 6 เปอร์เซ็นต์

คำสำคัญ : ระบบสะสมพลังงาน การบริหารจัดการพลังงาน การลดค่าความต้องการไฟฟ้าสูงสุด การหาขนาดตัวสะสมพลังงาน

Abstract

This paper presents a mathematical model of energy storage system (ESS) to minimise daily electrical peak demand. A typical daily electrical load curve of Thailand obtained from Electricity Generating Authority of Thailand (EGAT) is used to analyse the capability of energy storage system for electrical peak demand reduction with different storage sizes. It is found that with energy storage system at a power of 10 percent of daily peak demand and at 2 percent energy capacity of daily energy consumption calculated from the load curve, can decrease daily electrical peak demand 7 percent and increase daily load factor 6 percent.

Keywords : Energy storage system, Energy management, Electrical peak demand minimisation, Energy storage sizing

1. บทนำ

ปัจจุบันเทคโนโลยีระบบสารสนเทศมีบทบาทสำคัญในการบริหารจัดการพัฒนาในระบบไฟฟ้ากำลัง ประโยชน์ที่สำคัญที่ได้จากการบริหารจัดการพัฒนาได้แก่ การลดค่าความต้องการกำลังไฟฟ้าสูงสุดโดยอาศัยระบบสารสนเทศที่ทำหน้าที่เสื่อมของการเลื่อนเวลาการทำงานของภาระทางไฟฟ้าออกไป และเมื่อมีการนำมายังในกระบวนการบริหารจัดการพัฒนาที่ได้จากการพัฒนาหมุนเวียน เช่น พัฒนาจากแสงอาทิตย์และพัฒนาลม ซึ่งเป็นพัฒนาที่ได้จากการรวมชาติที่มีกำลังผลิตที่ไม่แน่อนก็จะทำให้สามารถใช้ประโยชน์จากพัฒนาหมุนเวียนได้มากขึ้น ทำให้มีส่วนช่วยในการลดปริมาณการปล่อยก๊าซเรือนกระจกเนื่องจาก การลดอัตราส่วนกำลังผลิตจากโรงจกรไฟฟ้า นอกจากนี้ระบบสารสนเทศยังสามารถใช้เป็นกำลังไฟฟ้าสำรองทำให้เป็นการเพิ่มความมั่นคงให้กับระบบไฟฟ้ากำลังอีกด้วย [1]

ระบบสารสนเทศที่พัฒนาขึ้นมาใช้ในปัจจุบันมีหลายชนิด เช่น ระบบสูบน้ำกลับของเขื่อน ระบบสารสนเทศพัฒนาในรูปแบบความร้อนและความเย็น ระบบสารสนเทศพัฒนาโดยใช้ไฮดรอลิก ระบบสารสนเทศพัฒนาโดยใช้แบตเตอรี่ ตัวเก็บประจุ ใช้วัสดุหมุน หรือแม่กระหงส์สมอยู่ในแบตเตอรี่ของรถยนต์ที่ใช้พัฒนาไฟฟ้า [1,2] ซึ่งการใช้งานของตัวสารสนเทศแต่ละชนิดจะแตกต่างกันออกไปตามพิจารณาความสามารถในการสารสนเทศพัฒนาและความรวดเร็วในการพยายาม [3,4]

เมื่อมีการนำระบบสารสนเทศพัฒนามาใช้ในการบริหารจัดการพัฒนา จึงต้องมีการจำลองระบบการทำงานของตัวสารสนเทศพัฒนาเพื่อที่จะหาขนาดของระบบสารสนเทศพัฒนาที่เหมาะสมกับระบบไฟฟ้ากำลังที่จะทำการบริหารจัดการพัฒนา [5-7] บทความนี้จึงนำเสนอวิธีการหาขนาดของระบบสารสนเทศพัฒนาที่เหมาะสมในการบริหารจัดการพัฒนาโดยมีวัตถุประสงค์เพื่อลดความต้องการกำลังไฟฟ้าสูงสุดเป็นหลัก

วิธีการวิจัย

ในการจำลองระบบสารสนเทศพัฒนาจะทำได้โดยอาศัย

สมการเชิงเส้นในการแก้ปัญหา [5-12] โดยรูปแบบของสมการจะอยู่ในรูปแบบของฟังก์ชันจุดประสงค์ภายในได้ข้อจำกัดต่างๆ เมื่อบอกค่าตัวแปรต่างๆ ให้กับสมการ ตัวแปรตัดสินใจจะเป็นคำตอนของสมการที่ได้จากการแก้สมการเชิงเส้น

ในบทความนี้เป็นการนำเสนอสมการเชิงเส้นอย่างง่ายเพื่อนำมาใช้ในการวิเคราะห์ความสามารถของระบบสารสนเทศพัฒนาแบบต่างๆ โดยมุ่งเน้นเพื่อลดค่าความต้องการไฟฟ้าสูงสุด สมการที่ใช้ในการจำลองระบบสารสนเทศพัฒนาจะประกอบด้วยตัวแปรต่อไปนี้

ตัวแปรที่ต้องระบุให้กับสมการ

t	เวลา
Δt	ช่วงเวลา
k	ชนิดของระบบสารสนเทศพัฒนา
n_k	จำนวนชนิดของระบบสารสนเทศพัฒนา
N_k^{ES}	จำนวนของตัวสารสนเทศพัฒนาชนิด k
i	เบอร์ของตัวสารสนเทศพัฒนาที่อยู่ในชนิด k ซึ่งเป็นจำนวนเต็มตั้งแต่ 1 ถึง จำนวนของตัวสารสนเทศพัฒนาชนิด k ของระบบสารสนเทศพัฒนาแต่ละชนิด ($1, \dots, N_k^{ES}$)
$P_L(t)$	กำลังไฟฟ้าที่ต้องการ ณ เวลา t
$\eta_{ES,k}$	ประสิทธิภาพของตัวสารสนเทศพัฒนาชนิด k ซึ่งขึ้นอยู่กับการสูญเสียพลังงานในระยะเวลาที่สารสนเทศพัฒนา Δt
$E_{ES,k}^{Min}$	ค่าพลังงานต่ำสุดของตัวสารสนเทศพัฒนาชนิด k
$E_{ES,k}^{Max}$	ค่าพลังงานสูงสุดที่สามารถสารสนเทศได้ของตัวสารสนเทศพัฒนาชนิด k
$E_{ES,k}^0$	ค่าพลังงานเริ่มต้นของตัวสารสนเทศพัฒนาชนิด k
E_{loss}^{es}	ค่าพลังงานสูญเสียสะสมของระบบสารสนเทศพัฒนา
$Q_{ES,k}^{\max}$	ค่ากำลังไฟฟ้าสูงสุดในการชาร์จและดิสชาร์จของตัวสารสนเทศพัฒนาชนิด k

ตัวแปรตัดสินใจ:

$Q_{k,i,t}$ ค่ากำลังไฟฟ้าที่ชาร์จหรือดิสชาร์จของ

ตัวสะสมพลังงาน i ของระบบสะสมพลังงาน
 ชนิด k ที่เวลา t
 $E_{k,i,t}^{es}$ พลังงานที่สะสมในตัวสะสมพลังงาน i ของ
 ระบบสะสมพลังงานชนิด k ที่เวลา t
ฟังก์ชันจุดประสงค์:
 ลดค่าสูงสุดของกำลังไฟฟ้าให้ต่ำที่สุด
 $\text{minimise } P_{new}$

เงื่อนไขข้อจำกัด:

1. พลังงานในตัวสะสมพลังงานที่เวลาเริ่มต้นและสุดท้าย (โดยทั่วไป $E_{ES,k}^0$ กำหนดเป็น % ของ $E_{ES,k}^{Max}$)

$$E_{k,i,1}^{es} = E_{k,i,t_{end}}^{es} = E_{ES,k}^0 \quad \forall k, i \quad (2)$$

2. พลังงานในตัวสะสมพลังงานที่เวลาใดๆ เท่ากับพลังงานในตัวสะสมพลังงานที่เวลา ก่อนหน้านี้นั้นคูณกับประสิทธิภาพของตัวสะสมพลังงาน รวมกับพลังงานที่ตัวสะสมพลังงานชาร์จหรือดิสชาร์จ ณ เวลาเดียวกันนั้น

$$E_{k,i,t}^{es} = \eta_{ES,k} E_{k,i,(t-1)}^{es} + Q_{k,i,t} \cdot \Delta t \quad \forall t > 1, \forall k, i \quad (3)$$

3. พลังงานสูงสุดของระบบสะสมพลังงานที่เวลาใดๆ ต้องไม่เกินค่าความจุพลังงานสูงสุด และพลังงานต่ำสุดต้องไม่ต่ำกว่าค่าที่กำหนด

$$E_{ES,k}^{Min} \leq E_{k,i,t}^{es} \leq E_{ES,k}^{Max} \quad \forall t, k, i \quad (4)$$

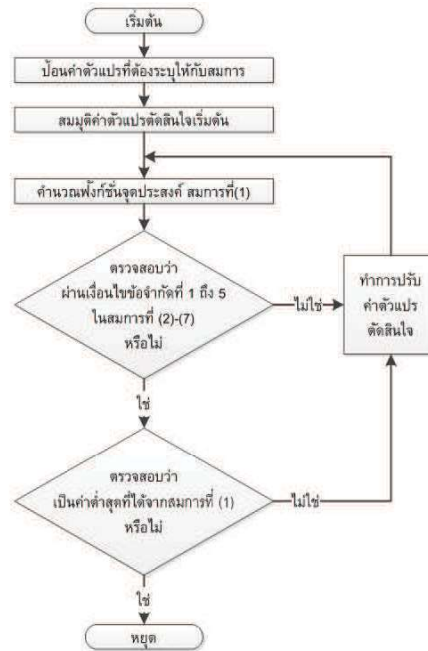
4. กำลังไฟฟ้าต่ำสุด/สูงสุดของระบบสะสมพลังงานในการชาร์จ/ดิสชาร์จที่เวลาใดๆ ต้องไม่เกินพิกัด

$$-Q_{ES,k}^{\max} \leq Q_{k,i,t} \leq Q_{ES,k}^{\max} \quad \forall t, k, i \quad (5)$$

5. ค่ากำลังไฟฟ้าสูงสุดที่เกิดขึ้นใหม่เมื่อมีการใช้ระบบสะสมพลังงาน ต้องมีค่ามากกว่าหรือเท่ากับ ผลกระทบของความต้องการกำลังไฟฟ้าเดิมกับกำลังไฟฟ้าที่ชาร์จและดิสชาร์จจากระบบสะสมพลังงานที่เวลาใดๆ

$$P_{new} \geq P_L(t) + \Delta P_{ES}(t) \quad \forall t \quad (6)$$

โดยที่ $\Delta P_{ES}(t)$ คือการเปลี่ยนแปลงของกำลังไฟฟ้าเนื่องจากระบบสะสมพลังงานซึ่งมีค่าเท่ากับผลกระทบของการ



รูปที่ 1 Flow chart ของการแก้สมการเชิงเส้น

ชาร์จและดิสชาร์จของตัวสะสมพลังงานทั้งหมด

$$\Delta P_{ES}(t) = \sum_{k=1}^{n_k} \sum_{i=1}^{N_k^{ES}} Q_{k,i,t} \quad \forall t \quad (7)$$

ค่าพลังงานที่สูญเสียสะสมทั้งหมดที่เกิดขึ้นในระบบสะสมพลังงานมีค่า

$$E_{loss}^{es} = \sum_{t=1}^{t_f} \sum_{k=1}^{n_k} \sum_{i=1}^{N_k^{ES}} (1 - \eta_{ES,k}) E_{k,i,t}^{es} \quad \forall t, k, i \quad (8)$$

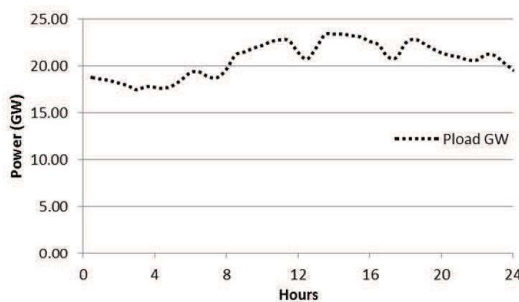
Flow chart ของการแก้สมการเชิงเส้นแสดงในรูปที่ 1

ผลการวิจัยและอภิปราย

ข้อมูล $P_L(t)$ ที่ใช้ในการจำลองได้จากข้อมูลเส้นโค้งภาระรายวัน (daily load curve) ณ วันที่ 6 พฤษภาคม 2557 ที่ได้รับความอนุญาตข้อมูลจาก กฟผ. ตามรูปที่ 2 เพื่อความสะดวกในการจำลองจึงทำการแปลงหน่วยกำลังไฟฟ้า GW เป็นหน่วย per unit โดยใช้ ค่ากำลังไฟฟ้าที่ต้องการสูงสุดของวันซึ่งมีค่าเท่ากับ 23,414.5 MW เป็นค่าฐาน ค่าพลังงานภายนอกได้เส้นໄส์ภาระเท่ากับ 497,140.10 MWh คิดเป็น 21.23 per unit การกำหนดค่าตัวแปรต่างๆ ที่ต้องระบุในสมการ แสดงในตารางที่ 1

ตารางที่ 1 การกำหนดค่าตัวแปรที่ใช้ในการจำลอง

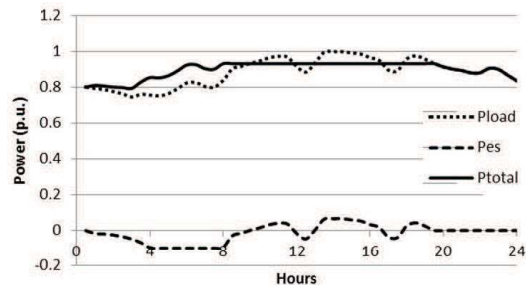
ตัวแปร	ค่าที่ใช้ในการจำลอง
$\eta_{ES,k}$	90% (13-15)
$E_{ES,k}^{Min}$	0
$E_{ES,k}^{Max}$	2% ของพลังงานที่คำนวณได้จากเส้นโค้งการรายวัน
$\setminus E_{ES,k}^0$	0
$Q_{ES,k}^{max}$	10% ของค่าสูงสุดของ $P_L(t)$



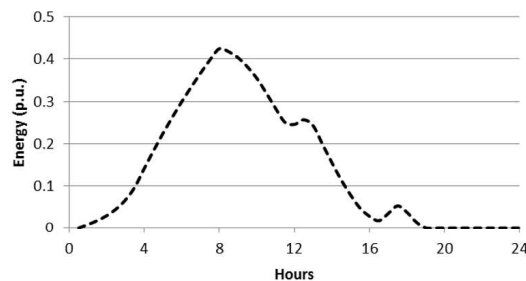
รูปที่ 2 เส้นโค้งการรายวันจากข้อมูลของ กฟผ. ที่ใช้ในการจำลอง

จากตารางที่ 1 ค่า $Q_{ES,k}^{max}$ และ $E_{ES,k}^{Max}$ จะสมมุติเป็นค่าที่ไม่มากจนเกินไปซึ่งมีความเป็นไปได้ในการลงทุนสร้าง คือ 10% และ 2% ตามลำดับ ซึ่งหมายถึงระบบจะสามารถลดพลังงานนี้เมื่อกำลังไฟฟ้าสูงสุด 2,341.45 MW และเมื่อกำลังงานสูงสุดที่สามารถจะลดได้ 9,942.8 MWh

การแก้สมการเชิงเส้นทั้งหมดใช้โปรแกรม Matlab เพื่อความสะดวกในการจำลอง ตัวสะสมพลังงานห้ายๆตัวที่มีพิกัดกำลังและความจุพลังงานไม่เท่ากันจะถูกรวบเข้าด้วยกันเปรียบเสมือนเป็นตัวสะสมพลังงานเพียงตัวเดียวที่มีค่าพิกัดรวมเท่ากับผลรวมของตัวสะสมพลังงานห้ายๆตัวที่มีค่าพิกัด $k=1$ จากรูปบนคาดของระบบจะสามารถลดได้โดยการปรับค่าตัวแปร $Q_{ES,k}^{max}$ และ $E_{ES,k}^{Max}$ จากนั้นทำการจำลองการลดค่ากำลังไฟฟ้าสูงสุดของเส้นโค้งการรายวัน ค่าสูงสุดของกำลังไฟฟ้าใหม่, P_{new} ที่ได้จากการจำลองของระบบจะสามารถลดได้และพิกัดพลังงานต่างๆ



รูปที่ 3 เส้นโค้งการรายวันที่ไม่ได้ใช้ตัวสะสมพลังงาน (Pload) ใช้ตัวสะสมพลังงาน (Ptotal) ในการลดค่าสูงสุดของความต้องการกำลังไฟฟ้าที่ค่า $E_{ES,k}^{Max} = 2\%$ และ $Q_{ES,k}^{max} = 10\%$ และ กำลังไฟฟ้าที่ชาร์จหรือดิสชาร์จของระบบจะลดลง (Pes)

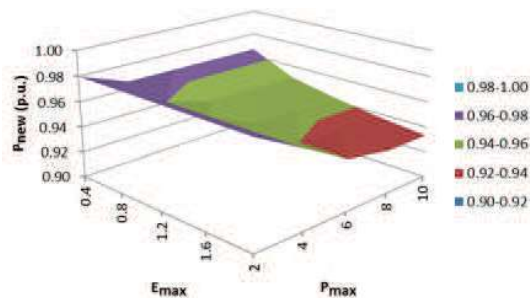


รูปที่ 4 พลังงานที่สะสมภายในตัวสะสมพลังงานรายชั่วโมงในหน่วย per unit

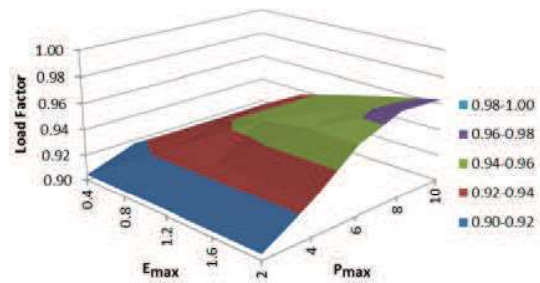
กันมาเบรี่ยนเทียนกัน

รูปที่ 3 แสดงการเบรี่ยนเทียนระหว่างเส้นโค้งการรายที่ใช้และไม่ได้ใช้ตัวสะสมพลังงานในการลดค่าความต้องการกำลังไฟฟ้าสูงสุดที่ค่า $E_{ES,k}^{Max} = 2\%$ ของพลังงานที่คำนวณได้จากเส้นโค้งการรายวัน และ $Q_{ES,k}^{max} = 10\%$ ของค่ากำลังไฟฟ้าสูงสุดของ $P_L(t)$ จะเห็นได้ว่าเส้นโค้งการที่มีระบบจะสามารถลดความต้องการกำลังไฟฟ้าสูงสุดได้ประมาณ 0.07 per unit ทั้งที่พิกัดสูงสุดนั้นสามารถลดได้ 10% เมื่อจากเงื่อนไขข้อจำกัดของพลังงานที่สะสมสูงสุดของระบบจะลดลง และพลังงานที่สูญเสียไปของระบบจะลดลง

รูปที่ 4 แสดงพลังงานที่สะสมภายในตัวสะสมพลังงานรายชั่วโมง จากรูปที่ 3 แสดงว่าตัวสะสมพลังงานจะเริ่มทำการสะสมพลังงานในช่วงเวลาประมาณ 4.00-8.00



รูปที่ 5 ค่าความต้องการกำลังไฟฟ้าสูงสุด เมื่อปรับค่า $E_{ES,k}^{Max}$ จาก 0.2% ถึง 1% และ $Q_{ES,k}^{max}$ จาก 2% ถึง 10%



รูปที่ 6 ค่า load factor เมื่อปรับค่า $E_{ES,k}^{Max}$ จาก 0.4% ถึง 2% และ $Q_{ES,k}^{max}$ จาก 2% ถึง 10%

น. จนสะสมพลังงานสูงสุดที่เวลา 8.00 น. เพื่อที่จะนำมาใช้ในช่วง 8.00-12.00 น. และ 13.00-16.00 น. ซึ่งเป็นช่วงที่มีความต้องการกำลังไฟฟ้าสูงสุดของวัน ซึ่งจะเห็นได้ว่า พลังงานที่สะสมอยู่จะลดลงมาจนเป็นศูนย์ในช่วง 19.00 น. จากรูปที่ 5 และ 6 แสดงค่าความต้องการกำลังไฟฟ้าสูงสุด และค่า load factor เมื่อปรับค่า $E_{ES,k}^{Max}$ จาก 0.4% ถึง 2% และ $Q_{ES,k}^{max}$ จาก 2% ถึง 10%

จากการฟังเห็นได้ว่าเมื่อค่า $E_{ES,k}^{Max}$ เพิ่มขึ้น 2% และค่า $Q_{ES,k}^{max}$ เพิ่มขึ้น 10% จะทำให้ค่ากำลังไฟฟ้าที่ต้องการสูงสุดลดลง 7% และค่า load factor เพิ่มขึ้น 6% แต่อย่างไรก็ตามความสัมพันธ์ของการลดลงของความต้องการกำลังไฟฟ้าสูงสุดและการเพิ่มขึ้นของ load factor กับการเพิ่มขึ้นของขนาดตัวสะสมพลังงานไม่ได้เป็นเชิงเส้นต่อกัน

สรุป

แบบจำลองระบบสะสมพลังงานอย่างจ่ายน้ำสามารถคำนวณวิเคราะห์ความสามารถลดของระบบสะสมพลังงานใน

การลดค่ากำลังไฟฟ้าสูงสุดรายวันได้ และจากการจำลองระบบสะสมพลังงาน โดยใช้ข้อมูลเดือนโดยประมาณของประเทศไทยพบว่าระบบสะสมพลังงานที่มีพิกัดกำลังไฟฟ้าสูงสุด 10 เปอร์เซ็นต์ของกำลังไฟฟ้าสูงสุดรายวัน และมีค่าความจุพลังงานสูงสุด 2 เปอร์เซ็นต์ของพลังงานที่คำนวณจากเดือนโดยประมาณ สามารถลดค่ากำลังไฟฟ้าสูงสุดได้ 7 เปอร์เซ็นต์

กิตติกรรมประกาศ

ผู้เขียนบทความขอขอบคุณ แผนกรอบบันทึกข้อมูลและวิเคราะห์เหตุการณ์ กองวิเคราะห์ระบบไฟฟ้า ฝ่ายควบคุมและป้องกัน การไฟฟ้าฝ่ายผลิตแห่งประเทศไทย ที่อนุเคราะห์ข้อมูลความต้องการกำลังไฟฟ้ารายวันสำหรับใช้ในการวิจัยการทำให้การวิจัยเสร็จสิ้นด้วยดี

เอกสารอ้างอิง

- [1] Alamri, B.R. ; Alamri, A.R., Technical review of energy storage technologies when integrated with intermittent renewable energy, International Conference on Sustainable Power Generation and Supply, 2009. SUPERGEN '09, p. 1 – 5
- [2] Medina, P. ; Buzuayehu, A.W. ; Catalao, J.P.S. ; Rodrigues, E.M.G. ; Contreras, J. Electrical Energy Storage Systems: Technologies' State-of-the-Art, Techno-economic Benefits and Applications Analysis, 47th Hawaii International Conference on System Sciences (HICSS) 2014 , p. 2295 – 2304
- [3] Nourai, A., Large-scale electricity storage technologies for energy management, IEEE Power Engineering Society Summer Meeting, 2002 Volume: 1: 2002, p. 310 – 315
- [4] Buzuayehu, A.W. ; Medina, P. ; Catalao, Joao P.S. ; Rodrigues, E.M.G. ; Contreras, J. Analysis of electrical energy storage technologies' state-of-the-art and applications on islanded grid systems IEEE PES T&D Conference and Exposition, 2014 , p. 1 – 5.
- [5] Dejvisees J. Modelling of flexible heat demand and assessing its value in low carbon electricity systems

- (PhD thesis). Imperial College London; 2012.
- [6] Chao Guang ; Ye Zhigang ; Hao Zhiguo ; Baohui Zhang ; Wang Xiaoli ; Zhang Shifeng, Optimal storage sizing for composite energy storage and wind in Micro grid, International Conference on Environment and Electrical Engineering (EEEIC) 14th, 2014 p. 286 – 290
- [7] Oudalov, A. ; Cherkaoui, R. ; Beguin, A., Sizing and Optimal Operation of Battery Energy Storage System for Peak Shaving Application, IEEE Lausanne Power Tech, 2007 p. 621 – 625
- [8] Kurucz, C.N. ; Brandt, D. ; Sim, S., A linear programming model for reducing system peak through customer load control programs, IEEE Transactions on Power Systems, Volume: 11 , Issue: 4 , 1996 , p. 1817 – 1824
- [9] Rahimi, A. ; Zarghami, M. ; Vaziri, M. ; Vadhva, S., A simple and effective approach for peak load shaving using Battery Storage Systems, North American Power Symposium (NAPS), 2013 p. 1 – 5
- [10] Manasseh, E. ; Ohno, S. ; Yamamoto, T. ; Mvuma, A., Autonomous demand-side optimization with load uncertainty, International Conference on Electronics, Information and Communications (ICEIC), 2014 p.1 – 2
- [11] Zhanbo Xu ; Xiaohong Guan ; Qing-Shan Jia ; Jiang Wu ; Dai Wang ; Siyun Chen, Performance Analysis and Comparison on Energy Storage Devices for Smart Building Energy Management IEEE Transactions on Smart Grid, Volume: 3 , Issue: 4, 2012 , p. 2136 – 2147
- [12] Nottrott, A. ; Kleissl, J. ; Washom, B., Storage dispatch optimization for grid-connected combined photovoltaic-battery storage systems IEEE Power and Energy Society General Meeting, 2012 p. 1 – 7